

# تغییر شکل غیر هم محور حاشیه کرنش اسفالریت: شاخصی برای تعیین کینماتیک برشی در یال برگشته چین فرادیواره‌ای

علی ناکینی<sup>۱</sup>، محمد محجل<sup>(۲)</sup>، علی یارمحمدی<sup>۳</sup>

۱. کارشناسی ارشد، گروه زمین‌شناسی، دانشکده علوم پایه، دانشگاه تربیت مدرس، تهران

۲. دانشیار، گروه زمین‌شناسی، دانشکده علوم پایه، دانشگاه تربیت مدرس

۳. دانشجوی دکتری زمین‌شناسی اقتصادی، گروه زمین‌شناسی، دانشکده علوم پایه، دانشگاه تربیت مدرس

تاریخ دریافت: ۹۲/۱/۱۸

تاریخ پذیرش: ۹۳/۵/۱۱

## چکیده

شواهد تغییرشکل به صورت تشکیل حاشیه کرنش در اطراف کانی اسفالریت در یال برگشته چین به عنوان شاخص اندازه‌گیری مراحل تکوین جنبشی مورد مطالعه قرار گرفته است. بررسی ساختاری انجام شده بروی بخشی از نهشته‌های کرتاسه در منطقه معدنی تیران واقع در باختر اصفهان حکایت از شواهد دگرگیختی برشی دارد که در یال برگشته چین خودگی در فرادیواره گسل معکوس هم امتداد با آن واقع شده است. جهت‌گیری رشد فیبرها و نحوه چرخش آنها در حاشیه کرنشی این اسفالریت‌ها برای تعیین کینماتیک چین خودگی مورد استفاده قرار گرفته است. با وجود این ساختار در یال برگشته چین‌های این منطقه، نحوه‌ی تکامل چین خودگی و مکانیسم گسل گسترش یافته هم امتداد آن شناسائی و نحوه تکوین چین بررسی شده است. در این مطالعه علاوه بر ارائه میزان کشش فیبرها در جهت‌های مختلف در دوره رشد، مقدار درجه چرخش کانی اسفالریت و رشد فیبرها با روش object-centre path محاسبه شده است.

واژه‌های کلیدی: اسفالریت، جهت برش، چین خودگی، گسل معکوس، حاشیه کرنش، فیبر.

## مقدمه

### در پهنه سندنج - سیرجان قرار می‌گیرد (شکل

۱-الف). در این منطقه سنگ‌های آهکی - شیلی با سن کرتاسه بروزد دارند. این سنگ‌ها در سه معدن به صورت طاقدیس با محور میل دار از جنوب خاور به سمت شمال باختر به نام‌های وجین پایین، وجین بالا

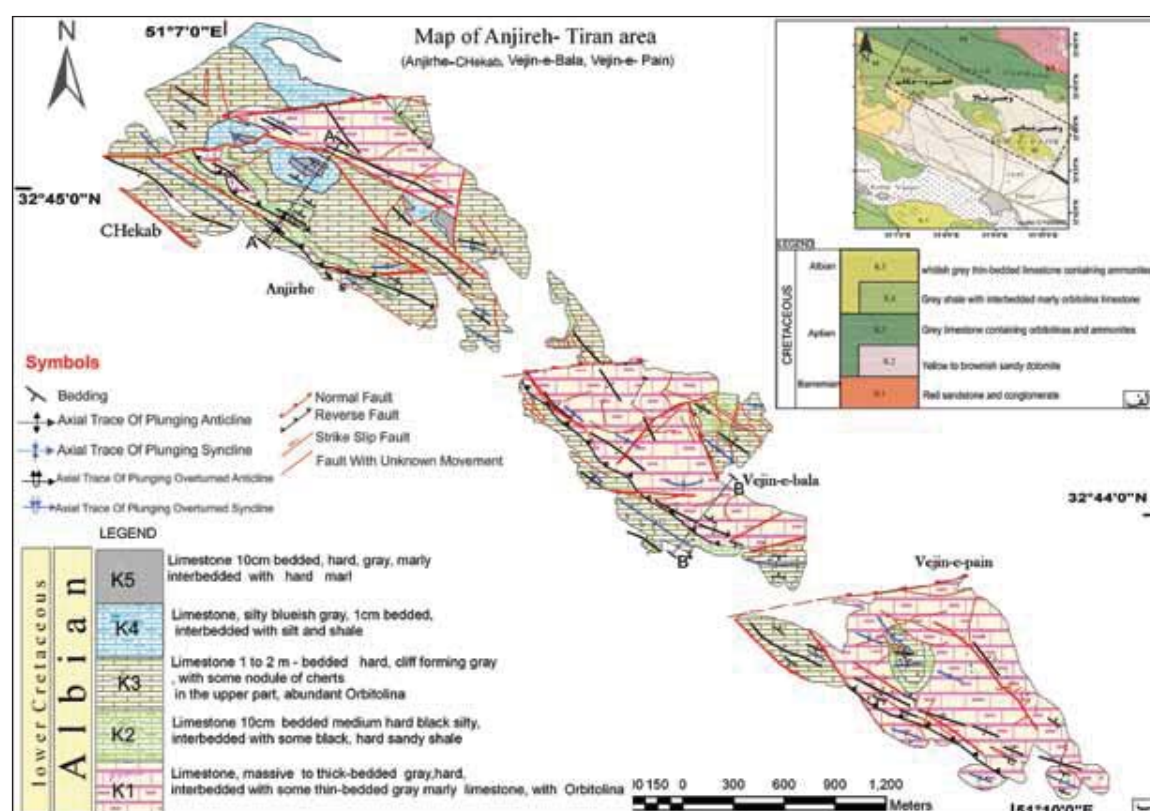
منطقه مورد مطالعه در ۶۰ کیلومتری باختر اصفهان و در سمت شمال باختری شهر تیران واقع شده است که در تقسیم‌بندی واحدهای ساختاری - تکتونیکی،

\* نویسنده مرتبط: mohajjel@modares.ac.ir

از شواهد دگریختی برشی دارد که در یال برگشته چین در فرادیواره گسل معکوس واقع شده است. این شواهد به صورت تشکیل حاشیه کرنش<sup>1</sup> در اطراف کانی اسفالریت دیده می‌شود. جهت‌گیری رشد فیبرها و نحوه چرخش آن‌ها شاهدی برای تعیین جهت تنش و مقدار زاویه چرخش می‌باشد. در این مطالعه ضمن معرفی ساختار چین برگشته و گسل معکوس در ارتباط با آن در منطقه معدنی تیران، حاشیه کرنشی کانی‌ها اسفالریت در یال برگشته چین فرادیواره‌ای گسل معکوس با برداشت object-centre path نمونه‌های جهت‌دار با روش Ramsay and Huber, (1983). بررسی ساختاری انجام شده بر روی سنگ آهک کرتاسه چین خورده در منطقه تیران حکایت

و انجیره - چکاب قرار دارند که میل محور آن‌ها به سمت جنوب‌خاور بوده و در همان جهت طاقدیس‌ها زیر دشت پنهان می‌شوند (شکل ۱- ب). معادن سرب و روی این منطقه از لحاظ اقتصادی حائز اهمیت بوده و در حال بهره‌برداری می‌باشد.

در رخنمون‌های سطح زمین شواهد گوناگونی مربوط به ساختارهای زمین‌شناسی هستند که ویژگی جنبشی، تاریخچه و چگونگی دگریختی را معرفی می‌کنند. حاشیه‌های کرنشی، ساختهایی هستند که می‌توانند اطلاعات زیادی درباره نوع برش و کرنش نهایی از آن‌ها استخراج کرد (Ramsay and Huber, 1983). بررسی ساختاری انجام شده بر روی سنگ آهک کرتاسه چین خورده در منطقه تیران حکایت



شکل ۱. الف) موقعیت معدن انجیره-تیران بر روی نقشه ۱:۱۰۰۰۰۰ نجف‌آباد (Zahedi, 1975). ب) نقشه زمین‌شناسی انجیره-تیران (انجیره - چکاب، وجین بالا، وجین پایین) اصلاح شده از نقشه Taraz (1968)

1. Strain fringe

اکسید آهن و بافت دانه شکری دیده می‌شود. قسمت فوقانی این واحد دارای فسیل فراوان اربیتولین می‌باشد. واحد<sub>4</sub> K شامل ۲۱ متر از آهک‌های سیلتی و مارنی با لایه‌هایی با ضخامت در حد سانتی‌متر است که رنگ غالب این واحد آبی تیره بوده و در رخنمون به راحتی قابل تشخیص است. واحد<sub>5</sub> K که مرتفع‌ترین واحد منطقه را تشکیل می‌دهد، شامل لایه‌هایی از آهک‌های مارنی به رنگ خرمایی - زرد به ضخامت ۵۰ متر است.

### موقعیت نمونه‌های مورد مطالعه در طاقدیس‌های سمت جنوب انجیره - چکاب و وجین بالا

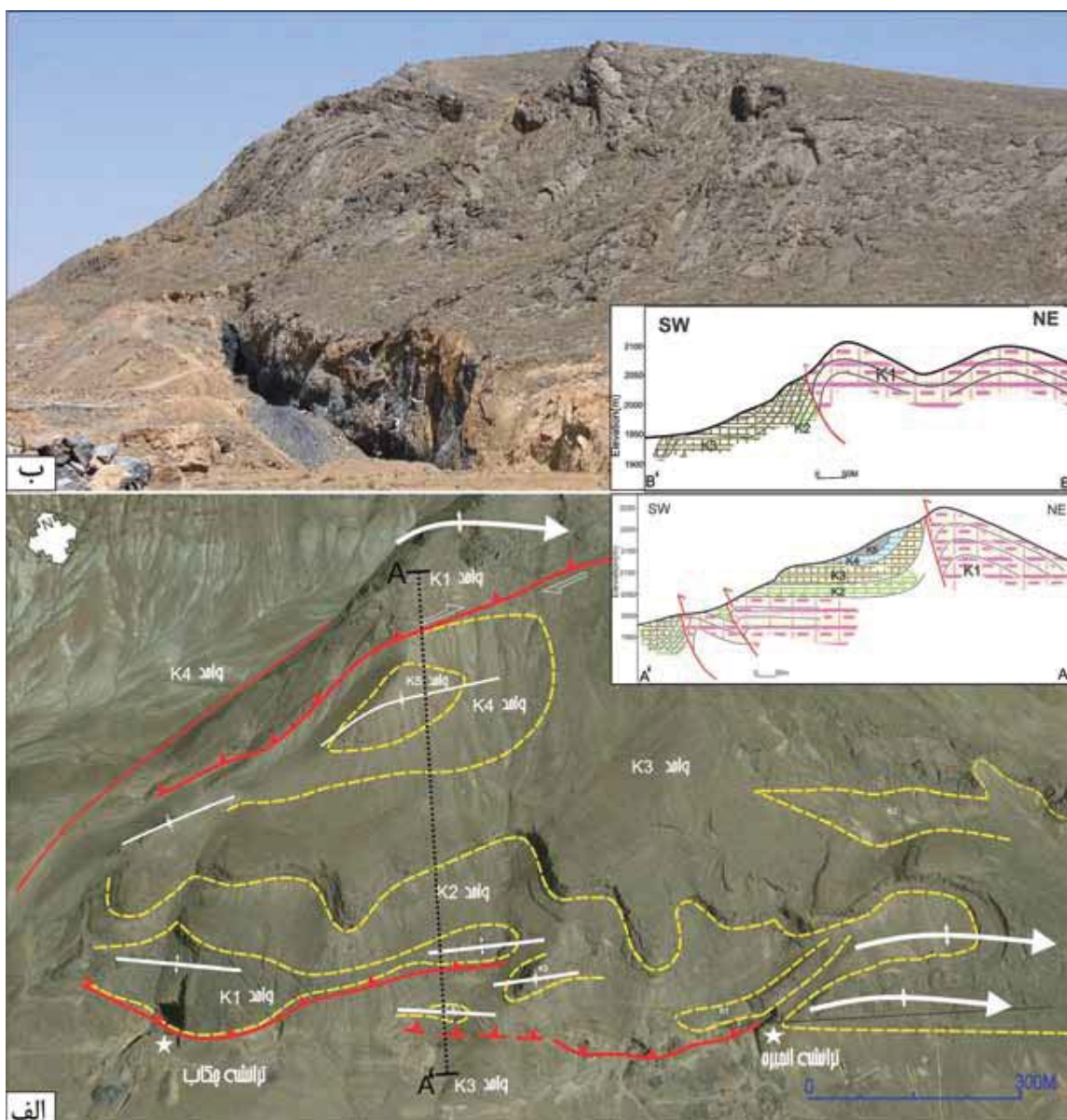
در جنوب‌باختری معدن انجیره - چکاب، طاقدیسی وجود دارد که محور آن به سمت جنوب‌خاور میل دارد. شبی واحدها در سمت شمالی کم بوده و در برخی قسمتها دارای حالت افقی است. مرز بین واحد<sub>1</sub> K<sub>1</sub> و در سمت جنوب منطقه به شدت به هم‌ریخته است. کانی‌ها اسفالریت در ترانشه چکاب و وجین بالا حاشیه کرنش از خود نشان می‌دهند. در وجین بالا عمدتاً واحدهای K<sub>1</sub> رخنمون دارند. در قسمتهاشی شمالی، واحدهای K<sub>2</sub> و K<sub>3</sub> نیز رخنمون دارند (شکل ۲). در این منطقه با توجه به فعالیت گسل‌های معکوس، طاقدیس‌های فرادیواره‌ای دیده می‌شوند. در ترانشه‌های این معدن واحد<sub>2</sub> K<sub>2</sub> به شدت خرد شده و واحدهای آهکی و شیلی درهم پیچیده‌اند. از نشانه‌هایی که می‌توان به معکوس بودن گسل اشاره کرد وجود پهنه برشی است که حاوی سنگ‌های با حالت‌های لنزی شکل از قطعات آهکی-شیلی است. ریزچین‌های داخل ترانشه‌ها نیز معکوس بودن گسل را تایید می‌کنند. حاشیه کرنش در این ترانشه همانند ترانشه چکاب در اطراف کانی اسفالریت دیده می‌شود (شکل ۳).

### زمین‌شناسی عمومی

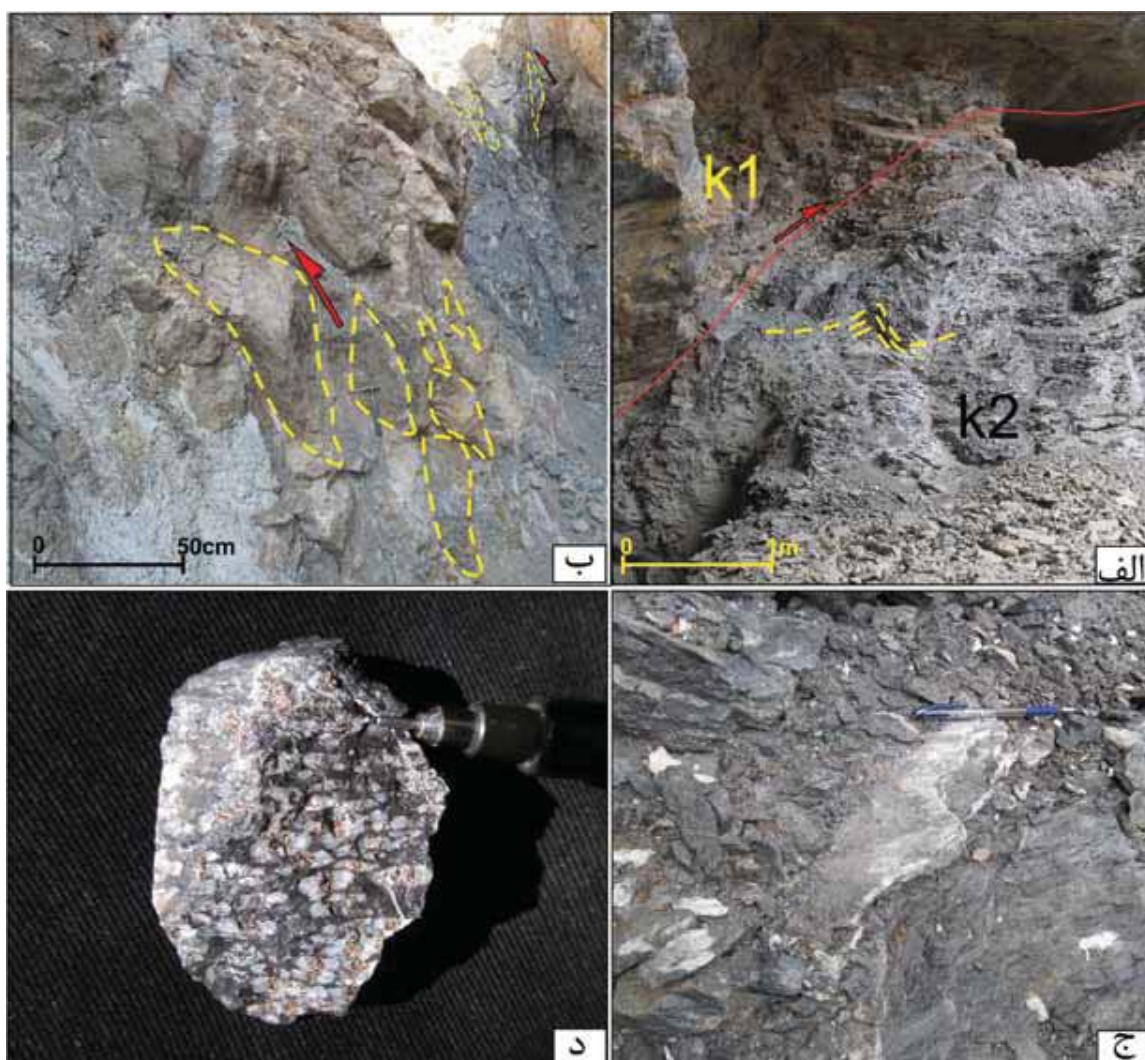
معدن انجیره - چکاب به طول دو کیلومتر، عرض یک کیلومتر و با ارتفاع ۳۷۰ متر از دشت اطراف معدن و جین بالا با دو کیلومتر طول، ۸۰۰ متر عرض و ارتفاع ۲۴۰ متر از سطح دشت اطراف و معدن و جین پایین با دو کیلومتر طول، یک کیلومتر عرض و ۲۰۰ متر ارتفاع از سطح دشت اطراف خود رخنمون دارند. واحدهای سنگی از نظر سنی به دوره کرتاسه‌پایینی (بارمین فوکانی-آلین) تعلق داشته و از سنگ‌آهک‌های ضخیم و متوسط‌لایه تشکیل شده‌اند که بین لایه‌هایی از مارن و شیل سیاه قرار دارند. نهشته‌های منطقه تیران با واحدهای آهکی اربیتولین دار مارنی با میان لایه‌هایی از شیل (K<sub>4</sub>) و آهک‌های خاکستری رنگ آمونیت‌دار (K<sub>5</sub>) در منطقه مشخص شده‌اند (Zahedi, 1975) (شکل ۱- ب).

کامل‌ترین توالی چینه‌شناسی در منطقه مورد مطالعه را می‌توان در معدن انجیره - چکاب دید. واحدهای چینه‌شناسی این سه معدن توسط Taraz (1968) به پنج واحد تقسیم شده است (شکل ۱- ب).

واحد<sub>1</sub> K<sub>1</sub> شامل لایه‌های دو تا سه متری از سنگ‌آهک‌های خاکستری است که کمترین ضخامت این واحد ۲۳۰ متر بوده و با میان لایه‌هایی از مارن رخنمون دارد و سن آپتین-آلین به این واحد داده شده است. این واحد بیشترین رخنمون را در منطقه دارا بوده و بهترین رخنمون آن در معدن انجیره - چکاب، یال شمالی وجین بالا و وجین پایین دیده می‌شود. واحد<sub>2</sub> K<sub>2</sub> شامل ۳۵ تا ۴۰ متر سنگ‌آهک‌های متوسط‌لایه سیلتی و ماسه‌ای در سطح هوازده، به رنگ قرمز خرمایی با میان لایه‌هایی از شیل رخنمون دارد. این واحد به شدت خرد شده و سیلیسی است. واحد<sub>3</sub> K<sub>3</sub> شامل ۴۰ تا ۵۰ متر آهک خاکستری مقاوم با میان لایه‌هایی از مارن و همچنین دارای نودول‌های چرتی در قسمت فوقانی است که به رنگ تیره دارای



شکل ۲. الف) طاقدیس جنوب و جین بالا به همراه برش زمین‌شناسی B-B'. مطالعه نمونه در داخل ترانشه در میان بین واحد  $K_1$  و  $K_2$  صورت گرفته است. جهت دید به سمت شمال باختز (ب) نمای کلی از واحدهای معدن انجیره - چکاب بر روی تصویر ماهواره‌ای (برگرفته از نرم افزار Google Earth) به همراه برش زمین‌شناسی A-A'



شکل ۳. نشانه‌های برشی برای حرکت معکوس به سمت جنوب باختر در پهنه برشی (الف) ریزچین‌های موجود در پهنه برشی که در ترانشه‌های معادن و چین بالا و انجیره - چکاب دیده می‌شوند. این ریزچین‌ها هم روند با چین خوردگی اصلی بوده و با تمایل سطح محوری به سمت جنوب باختر قرار دارند. واحد  $k_1$  در ترانشه‌ها با شیب به سمت شمال خاور، یا لبرگشته طاقدیس می‌باشند. (ب) حالت‌های لنزی شکل از قطعات آهکی-شیلی در داخل ترانشه‌ها که حرکت معکوس به سمت جنوب باختر را نشان می‌دهند. (ج) سطح گسل با رشت‌های کلسیتی. (د) نمونه دستی از حاشیه‌کرنش موجود در اسفالریت‌ها

### روش مطالعه

و کشیده باشند، حاشیه‌های کرنشی نامیده می‌شوند و مجموع هسته و حاشیه‌ها به نام ساختار حاشیه کرنشی<sup>1</sup> (شکل ۴- الف) معرفی می‌گردد (Pabst, 1931; Ramsay and Huber, 1983; Passchier and Trouw, 2005; Koehn, et al., 2001). از لحاظ شکل ساختاری بین دو اصطلاح

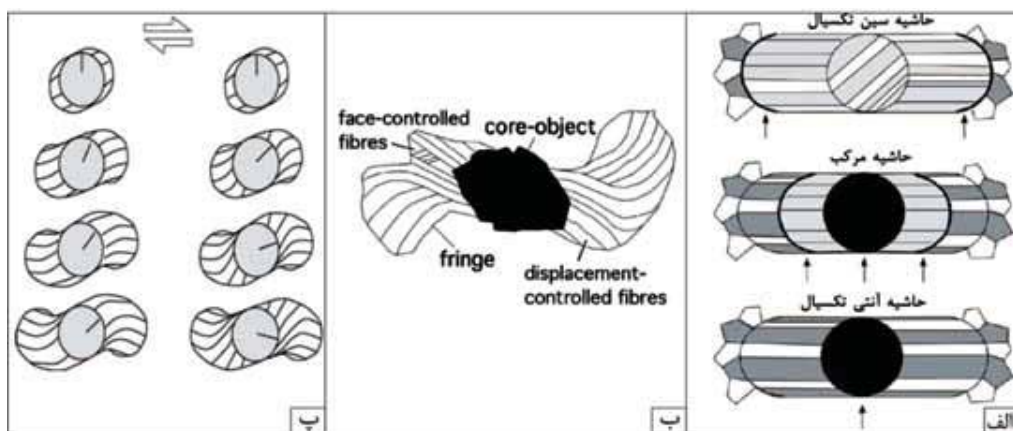
در محیط‌های با فشار بالا و حرارت پایین وجود انحلال فشارشی در کنار جسم سخت در جهت ISA تراکمی می‌باشند در حالی که ممکن است در محل اتصال جسم و خمیره رگه‌های کششی در جهت ISA کششی تشکیل شود (Mügge, 1928; Pabst, 1931). گاهی درون این رگه‌ها رشد کانی‌ها جدید دیده می‌شوند، در صورتی که این بلورها به صورت فیبری

1. - Strain shadows or strain fringes

سین تکسیال یا نوع کرینوئید (جنس هسته با خمیره مشابه) و یا ترکیبی باشند (Ramsay and Huber, 1983; Passchier and Trouw, 2005). در این مطالعه بحث اصلی حاشیه های کرنشی است که به صورت غیر هم محور رشد کرده اند. رشد فیبرها در نوع غیر هم محور در حالت نرمال به دو قسمت تقسیم می شوند. اگر رشد فیبرها تحت کنترل جابجایی<sup>۴</sup> باشد، انحنای مشابهی نسبت به طرح کلی حاشیه نشان می دهند با این تفاوت که نسبت به سطح جریان با زاویه بیشتری قرار می گیرند. اگر فیبرها تحت کنترل سطح<sup>۵</sup> باشند به سمت بیرون پراکنده می شوند (شکل ۴- ب). انحنای فیبرها بیشتر هم جهت با انحنای حاشیه خواهد بود ولی در نزدیکی هسته به هم نزدیک می شوند (Koehn et al., 2000)، با این وجود انحنای فیبرها به مقدار زیادی بستگی به نرخ چرخش هسته نسبت به حاشیه ها دارد (شکل ۴- پ). این نرخ چرخش بستگی به همانگی بین هسته و زمینه دارد.

strain shadow و strain fringe تفاوت هایی وجود دارد. زمانی از اصطلاح strain fringe استفاده می شود که تجمع بلورهای حاشیه با جهت یابی و مرز مشخص با زمینه داشته باشند در حالی که اصطلاح strain shadow حالتی است که بلورها تبلور یافته و حالت ریش ریش<sup>۶</sup> با مرز زمینه دارند و جهت یابی واضحی را نشان نمی دهند. قسمت ما بین دو حاشیه کرنش را اصطلاحاً قسمت مرکزی<sup>۷</sup> و کل ساختار (قسمت مرکزی و حاشیه ها) ساختار حاشیه کرنشی نامیده می شود (Koehn et al., 2000).

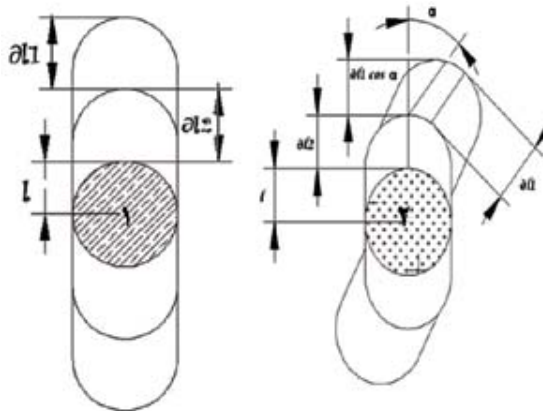
از آنجا که وجود جسم سخت به صورت هسته، هندسه ساختار دگر ریختی را در اطراف حاشیه های کرنشی در حال تشکیل تغییر می دهد، شکل و ساختار داخلی آن با رگه بسیار متفاوت است. حاشیه های کرنش اطلاعات مربوط به جریان و تاریخچه دگر شکلی را در خود ذخیره می کنند و از این نظر ابزار خوبی برای شاخص های کینماتیکی به حساب می آیند. حاشیه های کرنش می توانند آنتی تکسیال یا نوع پریت (جنس هسته با جنس خمیره متفاوت)،



شکل ۴. الف) ترسیم نمایشی از سه نوع حاشیه کرنشی. ماده موجود در هسته در حاشیه کرنشی سین تکسیال جسمی مثل کرینوئید است که با دوقلوهای حاصل از دگر ریختی همراه است. پیکان ها موقعیت صفحه رشد را مشخص می سازند، ب) رشد فیبرها در دو حالت کنترل جابجایی و کنترل سطح (Koehn et al., 2000). پ) طرح های مختلف فیبر که متأثر از نرخ چرخش متفاوت در ارتباط با حاشیه هاست

1. Matrix
2. Fuzzy
3. Core-object
4. Displacement-controlled
5. Face-controlled

برای محاسبه واتنش استفاده شد. ویژگی‌های اصلی این رشته سایه فشار متحمل تغییر شکل افزایشی هم‌محور است. هسته با شعاع  $L$  یک دسته رشته‌هایی با طول  $\delta l_1$  را ایجاد می‌کند. واتنش افزایشی  $e_{fl}$  با رابطه ۱ برابر خواهد بود. در طول مرحله بعدی واتنش، یک رشته با طول  $\delta l_2$  شکل می‌گیرد. در این حال، رشته‌های شکل گرفته اولیه با سخت بودن به جسم سخت پیوسته و خط مبنا با طول  $1 + \delta l_1$  را می‌سازند. بنابراین واتنش افزایشی دوم با رابطه ۲ برابر می‌شود و این مورد برای افزایش‌های بعدی ( $n$ ) به صورت رابطه ۳ خواهد بود (شکل ۵).



شکل ۵. رابطه بین کشش‌های افزایشی  $\delta l_1$  و  $\delta l_2$  در مدل رشته سخت برای افزایش‌های هم‌محور و غیرهم‌محور حاشیه کرنش (Ramsay and Huber, 1983)

$$e_{fl} = \frac{\delta l_1}{L} \quad (رابطه ۱)$$

$$e_{fl} = \frac{\delta l_2}{1 + \delta l_1} \quad (رابطه ۲)$$

$$e_{fl} = \frac{\delta l_n}{1 + \delta l_1 + \delta l_2 + \dots + \delta l_n} \quad (رابطه ۳)$$

کل طول شدگی محدود ( $e_{fl}$ ) از ضرب نیم محورهای بیضی واتنش افزایش متوالی به دست می‌آید (رابطه ۴).

1. Rigid fiber model

2. Deformable fiber model

## حاشیه‌ها و مسیر دگریختی

بسیاری از حاشیه‌ها و رگه‌ها دارای فیبرهای خمیده هستند که این فیبرهای در اثر تغییر امتداد پارامترهای حریان دگریختی به وجود می‌آیند. برای تعیین واتنش‌های افزایشی لازم است جهت‌های رشته‌ها ثبت شوند. طول رشته‌ها بین محدوده‌های زوایای انتخاب شده اندازه‌گیری می‌شود و قطر حداقل جسم مقاوم در جهت متوسط رشته تعیین می‌گردد. دو الگوی عمدۀ برای محاسبه واتنش افزایشی استفاده می‌شود. الگوی اول به الگوی رشته سخت ۱ موسوم است و در آن فرض می‌شود که برای هر افزایش در طول رشد، رشته‌های قبل‌تشکیل شده غیر قابل تغییر شکل هستند و به طریق سخت مثل اجسام مقاوم مرکزی عمل می‌کنند در این الگو باید طول هر رشته که قبل‌تشکیل شده به شعاع جسم سخت مرکزی اضافه شود و این طول جهت تعیین هر افزایش واتنش بعدی مورد استفاده قرار گیرد.

در الگوی دوم که به الگوی رشته تغییر شکل پذیر معروف است فرض می‌شود که در زمان شکل‌گیری رشته به روشهای مشابه با سنگ زمینه احاطه کننده جسم سخت تغییر شکل می‌دهد و بنابراین رشته‌های قبل‌تشکیل شده در تعیین مقادیر واتنش‌های افزایشی بعدی نقشی ندارند. اما در نتیجه افزایش‌های بعدی تغییر شکل، تغییر در طول را متحمل می‌شوند. هندسه رشته‌های کوارتز به نظر می‌رسد بیشترین مطابقت با الگوی رشته سخت داشته باشد، در حالی که هندسه رشته‌های کلریت و کلسیت را می‌توان به هر دو الگو ربط داد (Ramsay & Huber, 1983).

## رابطه‌های اندازه‌گیری واتنش برای الگوی رشته سخت

در این مطالعه با توجه به این که رشته‌های کلسیت در اطراف کانی اسفالریت دارای خمیدگی اند ولی پیوستگی خود را حفظ کرده‌اند از الگوی رشته سخت

هستند دیده می شوند (شکل ۶-الف و ب). ناهم جنسی بین هسته و فیبرها وجود دارد که در تقسیم بندی انواع حاشیه کرنش از نوع غیر هم محور است (Ramsay and Huber, 1983; Passchier and Trouw, 2005).

وجود خوردگی های موجود در سطح بیرونی هسته اسفالریت (دندان شانه ای) (شکل ۶-پ) می تواند شاهدی برای انحلال حاشیه و واکنش آن با زمینه پیرامون قبل از رشد فیبر باشد. وجود این کجی ها بر سطح هسته، نقش موثری در شروع دنباله روی فیبرها داشته است. ویژگی دنباله روی و یا عدم دنباله روی بلورها در حاشیه های کرنشی به یک تعامل پیچیده سرعت بازشدگی در فضای بین حاشیه و هسته و همچنین بین بلورها در حاشیه است. نتایج تجارب آنالیزی و کامپیوتری نشان می دهد که اگر نرخ رشد بلور با بازشدگی موزون و سطح هسته ناهموار باشد می تواند دنباله روی جهت بازشدگی در حاشیه کرنش باشند که در این صورت جهت رشد آنها بستگی به چرخش نسبی حاشیه و هسته دارد (Koehn et al., 2001 and 2003). چنین فرایند رشدی در فیبرهای حاشیه ناهموار اسفالریت دیده می شود. علاوه بر این در بعضی از نمونه ها رشد شعاعی فیبرهای کلسیت خود شاهدی بر کنترل رویه، بر فیبرهای کلسیت این مجموعه است.

$$e_{fl} = \frac{\partial l_1 + \partial l_2 + \partial l_3 + \dots + \partial l_n}{l} \quad (رابطه ۴)$$

زمانی که افزایش ها هم محور نیستند، اصطلاحات ویژه ای را باید به کار برد، چون طول موثر پیکره سخت در جهت افزایش های بعدی تابعی از زاویه  $\alpha$  بین رشتة اولیه و جهت افزایش بعدی است. طول خط پایه پیکره سخت برای افزایش طول  $l_2$  مجموع شعاع پیکره سخت و  $\partial l_2 \cos \alpha$  است که واتنش افزایشی دوم را نشان می دهد. در این صورت با رابطه ۵ برابر می شود و به طور کلی برای افزایش (n) از (رابطه ۴) استفاده می شود.

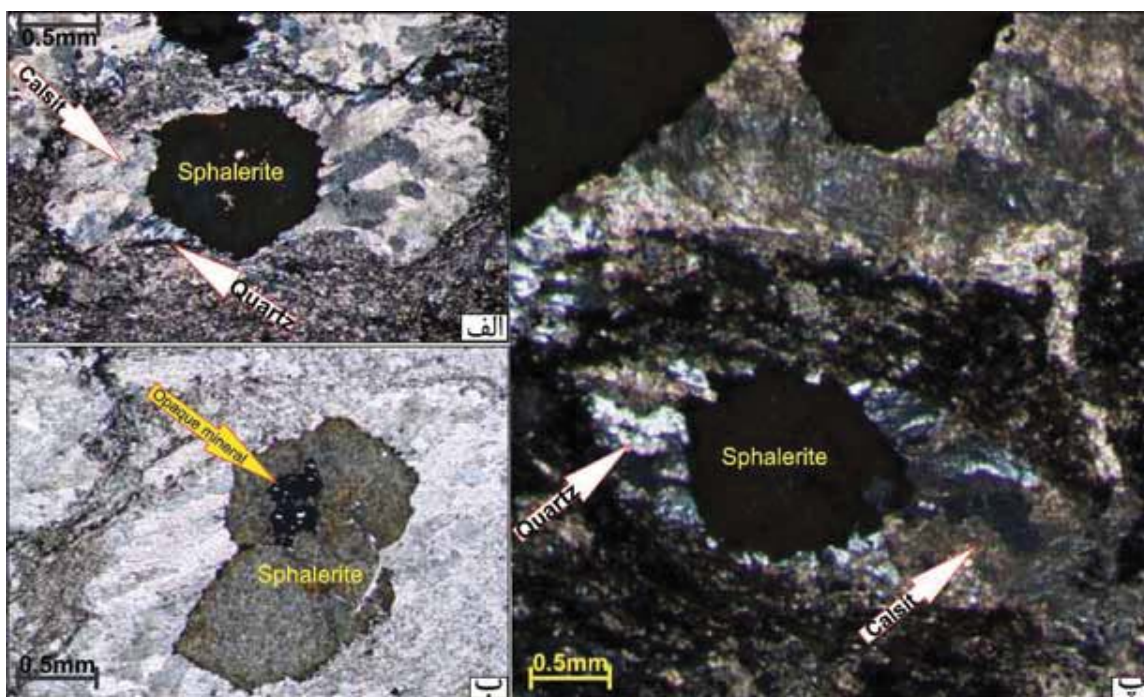
$$e_{il} = \frac{\partial l_2}{1 + \partial l_1 \cos \alpha} \quad (رابطه ۵)$$

$$e_{il} = \frac{\partial l_2}{1 + \sum_{i=1}^{n-1} \partial l_i \cos \alpha} \quad (رابطه ۶)$$

## بحث و تفسیر مشاهدات

وجود جسم سخت مانند اسفالریت، به عنوان هسته این ساختار باعث تغییرات شدید در میدان تنش و الگوی جریان دگریختی شده است. علاوه بر آن، تغییرات محلی در جهت تنش و عوامل کنترل کننده رشد فیبرها نیز بر این جریان موثر هستند. در مشاهدات کلی، هسته اسفالریت دیده می شود که فیبرهای کلسیتی و کوارتزی در حاشیه آن رشد کرده اند در داخل هسته اسفالریت کانی ها تیره<sup>1</sup> که بیشتر از جنس پیریت و کالکوپیریت

1. Opaque



شکل ۶. الف) ساختار حاشیه کرنش که شامل هسته از اسفالریت و فیبرهای کوارتز و کلسیت که اطراف آن دیده می‌شوند، ب) کانی‌ها اوپک در داخل هسته اسفالریت دیده می‌شوند که بیشتر از جنس کالکوپیریت هستند، پ) خوردگی در اطراف اسفالریت که به شکل دندان شانه‌ای هستند، این عامل در رشد شعاعی فیبرهای کلسیت و کوارتز در اطراف هسته موثر است

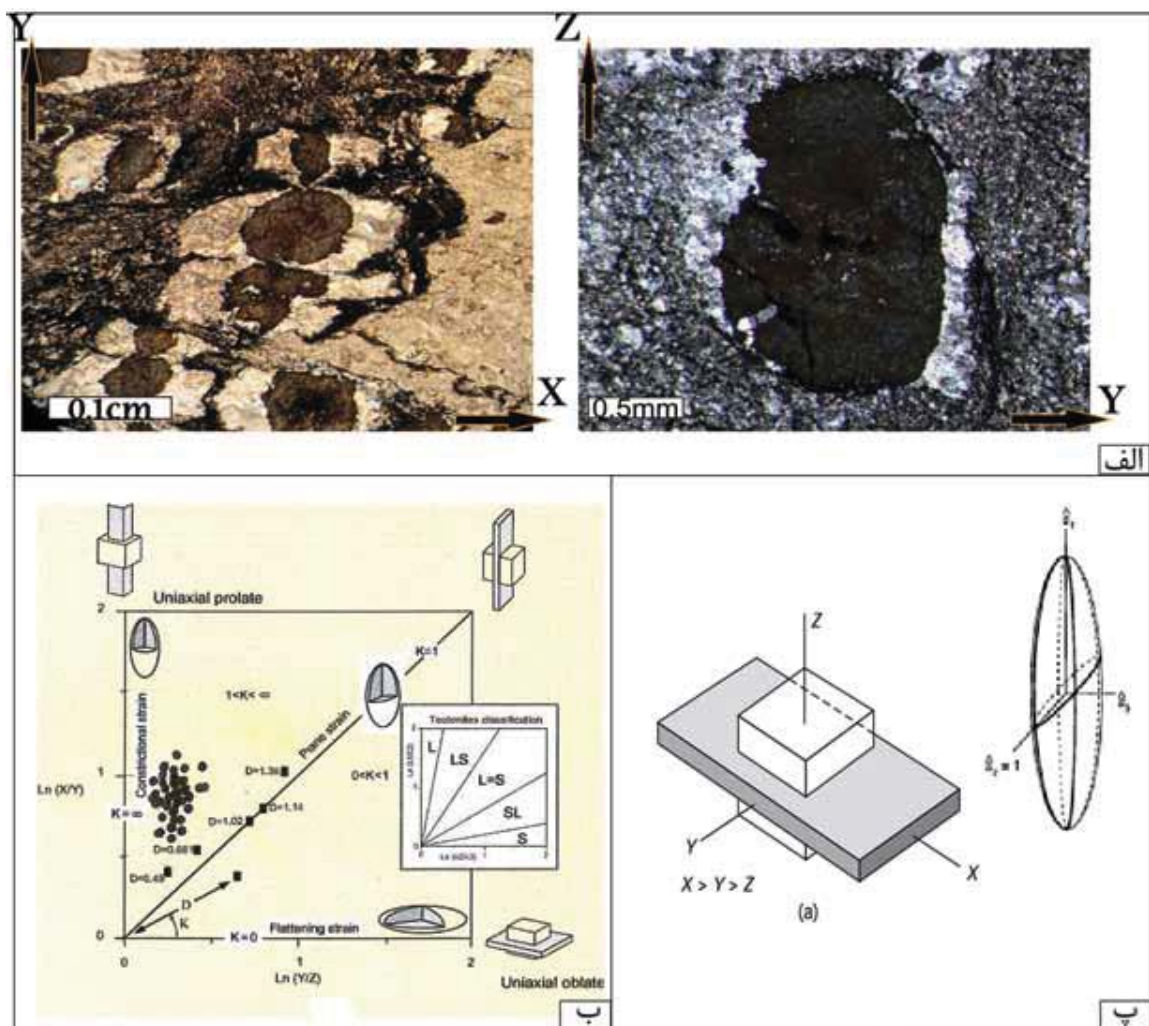
رد استرین مستقیم را ایجاد می‌کنند، در حالی که افزایش‌های نامساوی استرین، ردهای منحنی را به وجود می‌آورد. این در حالی است که در نمودار فلین، هر دو حالت استرین‌های جزئی مساوی و نامساوی، به صورت رد استرین غیر مستقیم رسم می‌شوند (Marshak and Pluijm, 2004). با توجه به موقعیت بیضوی استرین در این نمودار الگوی شکل بیضوی استرین برای حاشیه کرنش مربوط به این منطقه شکل خربزه‌ای<sup>۲</sup> توجیه می‌گردد که در محدوده LS در این نمودار واقع شده است. با توجه به ساختار سه بعدی مربوطه می‌توان رابطه نسبی ۰<Y<Z<X برای محورهای استرس و محورهای استرین این ساختارها معرفی کرد (شکل ۷-پ).

در برش برای مطالعه میکروسکوپی از ساختار حاشیه کرنشی در جهت‌های حداقل کشش (صفحه XY) و حداقل آن (صفحه YZ) (شکل ۷-الف) به رابطه بین ۳ مولفه کرنش این ساختار می‌توان پی برد. این برداشت بر روی ۳۰ نمونه از حاشیه کرنش انجام گرفت و موقعیت بیضوی استرین در نمودار رمزی<sup>۱</sup> پلاس گردید (شکل ۷-ب).

نمودار رمزی از مزیت‌های چندی نسبت به نمودار فلین برخوردار است. نخست اینکه استرین‌های کوچک که نزدیک مبدأ قرار می‌گیرند و استرین‌های بزرگ که در فاصله زیادی از مبدأ قرار می‌گیرند، در نمودار رمزی یکنواخت‌تر توزیع می‌شوند. دوم اینکه نمودار رمزی یک ارزیابی تصویری از تاریخچه استرین‌های جزئی بدست می‌دهد، زیرا در طول تغییرشکل، استرین‌های جزئی مساوی، مسیر یا

1. Ramasy diagram

2. General strain



شکل ۷. (الف) تعیین موقعیت صفحه XY در اسفالریت. محور X حداکثر کشش را نشان می‌دهد (X>Y). تعیین موقعیت صفحه YZ و مقادیر فیبرهای تشکیل شده در جهت Y>Z را نشان می‌دهد. (ب) نمودار ۳ بعدی رمزی و موقعیت بیضوی استرین ۳۰ نمونه از حاشیه کرنش که در نمودار پیاده شده است. (پ) رابطه بین محورهای استرین و استرس در ساختار حاشیه کرنشی اسفالریت

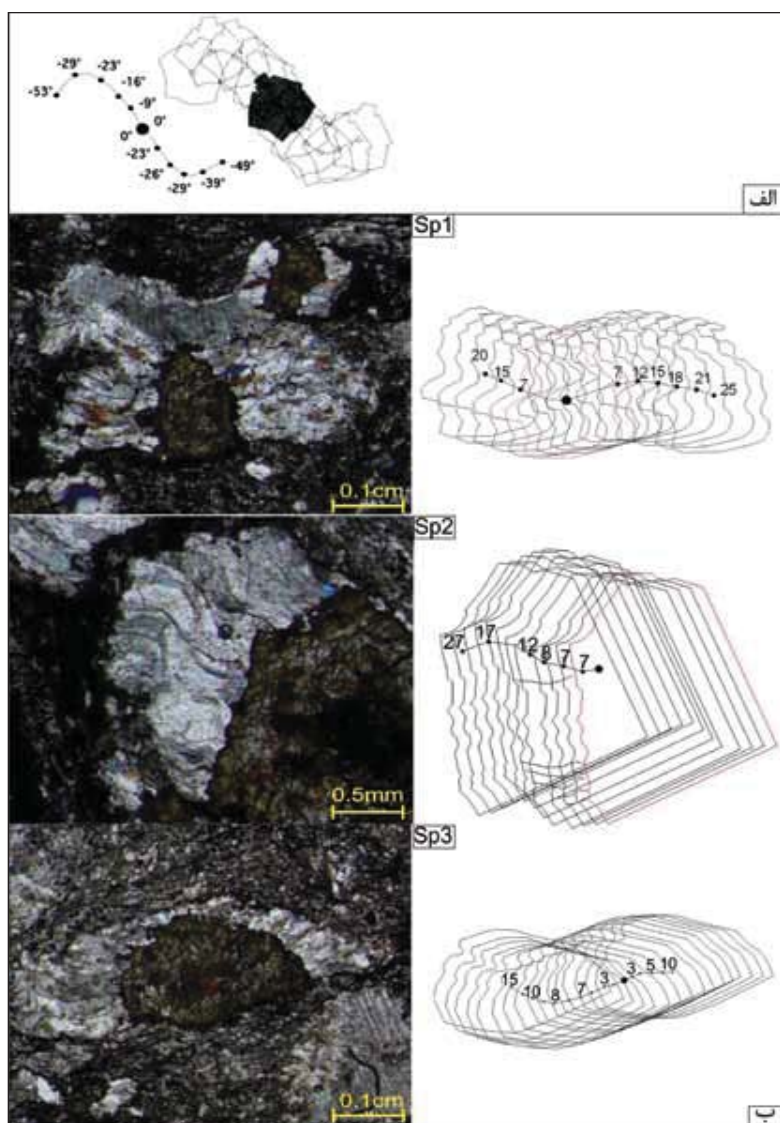
استفاده شوند. چرخش در حاشیه، نسبت به هسته ممکن است به طور مجزا مطالعه شود. موضوع مسیر هسته و حاشیه به فیبرهای انفرادی بستگی نداشته و برای همه یکسان است و می‌تواند تعیین کننده کرنش نهایی باشد. حتی می‌تواند تاریخچه دگریختی در سنگ دیواره را نیز بازگو کند (Koehn et al., 2003). این روش می‌تواند مسیر باز شدن فیبرها نسبت به هسته مرکزی را تعیین کند. مسیر بازشدگی برای فیبرها توصیف کننده حرکت قدیمی‌ترین قسمت حاشیه‌ها نسبت به هسته مرکزی می‌باشد (شکل

## محاسبه میزان چرخش با روش object centre path

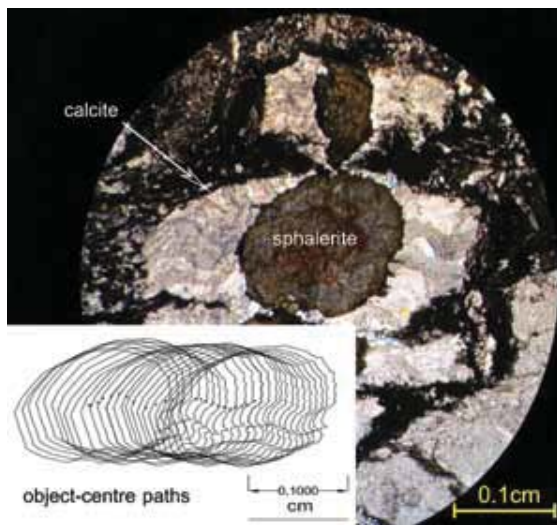
Rossetti et al. (2000) و Aerden (1996) روش object centre path را برای آنالیز حاشیه‌های کرنش غیردگریخته پیشنهاد کردند به طوری که ناهموار بودن سطح خارجی جسم مرکزی برای فیبر مشخصی تنظیم می‌شود. لغزش و چرخش در هسته مرکزی در طول آنها در آنالیز مسیر منحنی شکل فیبرها در بسیاری از موارد کاربرد داشته و این قابلیت را دارند که به عنوان ابزاری مهم برای آنالیز کینماتیک دگریختی سنگ‌ها

شد. با توجه به اینکه سمت راست نمونه رشد بیشتری از حاشیه‌ها را نشان می‌دهد، چرخش ۲۵ درجه‌ای از کانی اسفالریت مشاهده می‌شود. نمونه دوم (sp2) از ترانشه چکاب برداشت شده است. کانی اسفالریت در این نمونه با چرخش ۲۷ درجه و رشد فیبرهای کلسیت دیده می‌شود. نمونه سوم (sp3) از معدن وجین بالا انتخاب شده است. با توجه به اینکه چرخش کانی اسفالریت در این نمونه از سایر نمونه‌ها کمتر می‌باشد رشد فیبرها خمیدگی کمتری را نشان می‌دهند.

-۸. الف). سه نمونه از مقاطعی (شکل ۸-ب) که دارای حاشیه‌های منظمی بودند از داخل ترانشه‌های چکاب، انجیره و وجین بالا به صورت جهت دار از یال برگشته طاقدیس‌های فرآ迪واره‌ای انتخاب شد. همانطور که بروی تصاویر میکروسکوپی مشخص است فیبرهای کلسیتی دارای خمیدگی و بدون قطع شدگی می‌باشند که این خود نشان دهنده چرخش کانی‌های اسفالریت و رشد فیبرها همزمان با چرخش می‌باشند. در نمونه اول شکل ۸-ب (sp1)، این نمونه از ترانشه انجیره برداشت



شکل ۸. الف) جسم مرکزی و مسیر رشد فیبر برای آن مشخص شده است (Aerden, 1996; Koehn et al., 2000)، ب) نمونه‌هایی از مسیر رشد فیبرهای کلسیت با استفاده از روش object centre path



شکل ۹. نمونه مورد مطالعه برای محاسبه و انتش افزایشی و مسیر چرخش بلور اسفالریت

## محاسبات و انتش افزایشی

مقطع نازکی از بلور اسفالریت در زمینه آهک مارنی از مرز بین واحد  $K_1$  و  $K_2$  انتخاب شد (شکل ۹). اسفالریت به وسیله سایه کرنشی کلسیت رشته‌ای احاطه شده است. رشته‌ها شدیداً دارای خمیدگی‌اند ولی پیوستگی خود را حفظ کرده‌اند. هیچ نشانه‌ای از تغییرات در ساختمان رشته‌های کلسیت در طول رشته‌ها مشاهده نمی‌شود. این ویژگی‌های سایه فشاری گویای تشکیل آن با مدل رشته سخت است. با توجه به رابطه ۶ و همچنین رسم خطوط ایزوگون با نرم‌افزار اتوکد<sup>۱</sup>، میزان کشیدگی فیبرها محاسبه شد (جدول ۱). همانطور که در این جدول دیده می‌شود در یک سمت حاشیه، تعداد ۹ توالی کشش انتخاب و میزان کشش در هر مرحله محاسبه شده است.

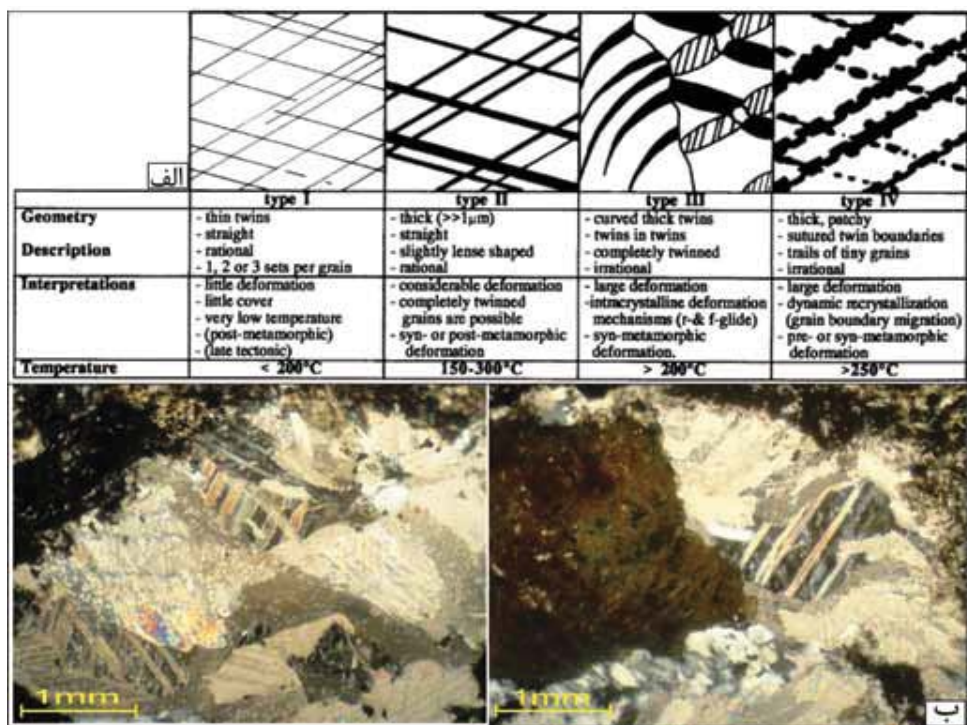
جدول ۱. جزئیات اندازه‌های طول رشته‌ها و طول خطوط پایه برای هر افزایش. همانطور که دیده می‌شود با توجه به همگن بودن شکل بلور اسفالریت تغییر چندانی در اندازه طول پایه دیده نمی‌شود

$e_{ii}$	$\Delta l \cos q$ (cm)	$\Theta$ (درجه)	$\Delta L$	$L_{sp}$ (cm)	تعداد افزایش
۰/۱۱	۰/۰۰۹۴	۱۵۰	۰/۰۰۹۸	۰/۰۷۳۲	$\Delta L_1$
۰/۰۸	۰/۰۰۶۳	۲۷۰	۰/۰۰۷۱	۰/۰۷۴۵	$\Delta L_2$
۰/۰۶	۰/۰۰۴۴	۳۴۰	۰/۰۰۵۴	۰/۰۷۴۸	$\Delta L_3$
۰/۰۶	۰/۰۰۱۷	۶۷۰	۰/۰۰۴۵	۰/۰۷۳۱	$\Delta L_4$
۰/۲۶	۰/۰۰۰۳	۸۹۰	۰/۰۱۹۶	۰/۰۷۴۵	$\Delta L_5$
۰/۰۷	۰/۰۰۱۹	۶۹۰	۰/۰۰۵۴	۰/۰۷۵۰	$\Delta L_6$
۰/۰۹	۰/۰۰۶۲	۳۰۰	۰/۰۰۷۲	۰/۰۷۳۵	$\Delta L_7$
۰/۰۵	۰/۰۰۴۲	۶۰	۰/۰۰۴۳	۰/۰۷۳۳	$\Delta L_8$
۰/۰۷	۰/۰۰۵۷	۰	۰/۰۰۵۷	۰/۰۷۵۴	$\Delta L_9$

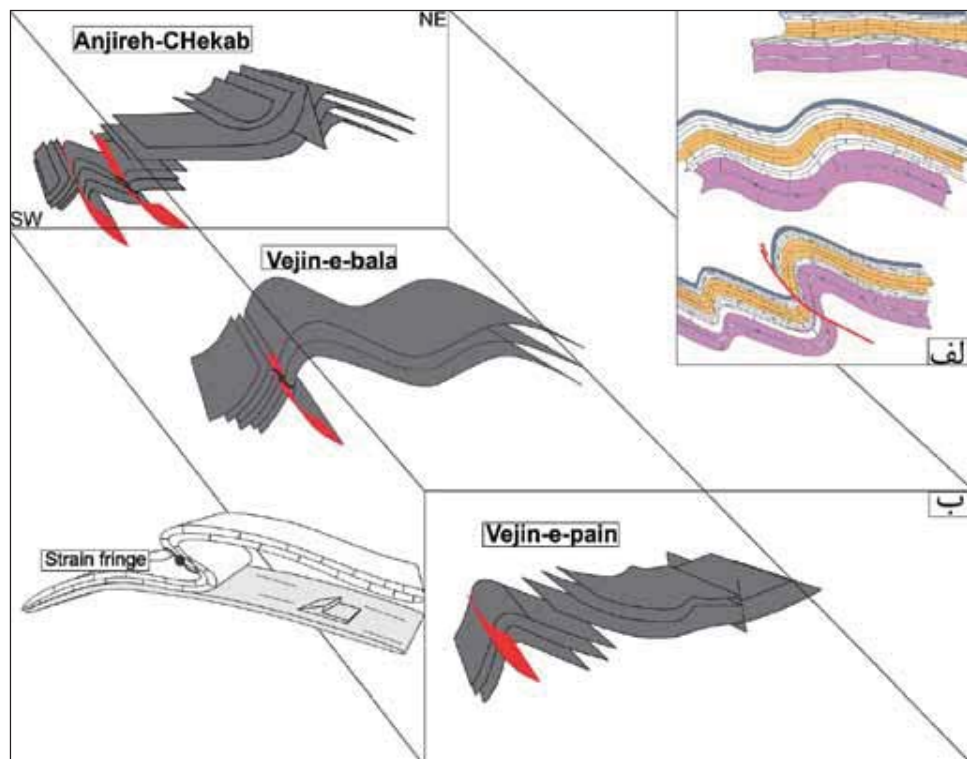
**دو قلوسازی**<sup>۱</sup> فرایندی است که با اعمال تنش محدود به وجود می‌آید و فقط در جهت‌های بلوری خاص عمل می‌نماید. برای بررسی شرایط دگرشکلی گسل معکوس در منطقه تیران با توجه به حساسیت ریزساختارهای کانی‌ها کلسیت نسبت به دمای دگرشکلی، می‌توان از این کانی‌ها استفاده کرد. با توجه به سنگ‌های کربناتی در منطقه مورد مطالعه، کانی‌ها کلسیت دارای ماکل‌های دگرشکلی در محدوده تغییرشکل برشی مورد مطالعه فراوان بوده و براساس هندسه و ریخت‌شناسی آن‌ها شرایط دمایی دگرشکلی در منطقه و تغییرات آن قابل اندازه‌گیری و بررسی بود. با توجه به تقسیم‌بندی انواع ماکل‌های Weiss و Ferril (1991) در منطقه انجیره- چکاب دانه‌های کلسیت (1954) در حاشیه‌های کرنش دارای رشته‌های ماکل مستقیم و ضخیم (Type II)، دارای بیشترین فراوانی هستند. براساس این ساختارها، دمای دگرشکلی دانه‌های کلسیت در حدود  $150^{\circ}\text{C}$ - $200^{\circ}\text{C}$  سانتی‌گراد براورد می‌شود (شکل ۱۰-الف و ب).

1. AutoCAD

2. Twinning



شکل ۱۰. (الف) طبقه‌بندی دگرشکلی دوقلویی. چهار نوع دوقلویی که می‌توان براساس این طبقه‌بندی شرایط دمایی را تشخیص داد (Weiss, 1954; Ferril, 1991) (ب) دو نمونه از دوقلویی کلسیت در حاشیه اسفالولیت‌ها. همانطورکه مشاهده می‌شود دوقلویی از نوع ۲ می‌باشد



شکل ۱۱. (الف) مراحل نحوه چین خوردگی معادن انجیره-تیران. (ب) مدل سه بعدی از برش‌های ساختاری معادن انجیره-تیران و چگونگی قرارگیری حاشیه‌های کرنش در یال برگشتۀ طاقدیس‌های فرادیواره‌ای

برگشته چین و حرکت برشی آن در اثر ایجاد گسل معکوس در منطقه مورد مطالعه می باشد. با استفاده از روش object centre path کینماتیک دگریختی حاشیه های کرنش و تغییرات آن بررسی شد. دو قلوبی کلسیت شرایط دمایی دگر شکلی در منطقه را بالاتر از ۱۵۰ درجه سانتی گراد نشان می دهد. این مطالعه مشخص می کند که با شناسایی حاشیه کرنش و بررسی نحوه رشد، جهت گیری و هندسه فیبرها می توان به الگوی دگریختی برشی بی برد و از این روش تغییرات تدریجی جهت تنشهای واردہ را تعیین کرد. حاشیه کرنش کانی ها اسفالریت موجود در یال برگشته طاقدیس در منطقه مورد مطالعه، حرکت سمت شمال بر روی بخش جنوبی را نشان می دهد که شاهدی برای روند تکامل طاقدیس برگشته در فرادیواره گسل معکوس می باشدند (شکل ۱۱-ب). لازم به ذکر است که تعیین الگوی تکوین ساختاری، ارتباط مواد معدنی و جایگاه آن در ساختمان زمین شناسی را آسان می سازد.

### سپاسگزاری

از دانشگاه تربیت مدرس به دلیل امکان انجام برداشت صحرایی این پژوهش قدردانی می شود. از معاونت محترم معدن روی تیران در فراهم ساختن امکانات اسکان و همه افرادی که به نحوی ما را در انجام این پژوهش یاری رساندند بویژه از خانم مهندس جابری برای در اختیار گذاشتن اطلاعات مورد نیاز صمیمانه سپاسگزاری می شود.

### منابع

- ناکینی، ع.، مجله، م.، یارمحمدی، ع.، ۱۳۹۴. الگوی چین خوردگی Break Thrust Fold در معادن انجیره-وجین تیران، باختر اصفهان. فصلنامه علوم زمین، شماره ۹۵، بهار ۹۴ صفحه ۲۳۱ تا ۲۴۱ (زمین ساخت).

### نتیجه گیری

روند کلی ساختاری در منطقه تیران، شمال باختری - جنوب خاوری است. واحدهای آهکی-شیلی کرتاسه زیرین در منطقه، الگوی چین خوردگی مشابهی را به نمایش گذاشته اند. این سنگ ها در سه معدن در امتداد هم به صورت طاقدیس با محور میل دار از جنوب خاور به سمت شمال باختر قرار دارند، که میل محور آنها با مقدار کم<sup>۱</sup> به سمت جنوب خاور بوده و در همان جهت میل، طاقدیس جنوب خاوری در زیر دشت پنهان می شود. این سه معدن از لحاظ چینه شناسی و ساختار شباهت کامل با یکدیگر دارند. در سمت جنوب این سه معدن، لایه ها دارای شبیه زیاد و یا برگشتگی هستند. در داخل ترانشهای عمود بر امتداد محور در یال چین این سه معدن، شبیه زیاد و برگشتگی بخوبی قابل مشاهده است. در یال شمال خاوری هرسه معدن، شبیه لایه ها کم بوده و با چین خوردگی ملایم و در قسمت هایی به صورت افقی دیده می شوند. تمایل<sup>۲</sup> چین خوردگی در منطقه به سمت جنوب باختری است. برداشت های ساختاری از این سه معدن در ساختمان طاقدیس بزرگ با میل کم به سمت جنوب خاور قرار دارند (ناکینی و همکاران، ۱۳۹۴). در امتداد یال جنوبی این طاقدیس گسل معکوس بوجود آمده و واحد<sup>۱</sup>K در منطقه لولایی طاقدیس بالا آمده و در فرادیواره گسل بروند پیدا کرده است.

پیشرفت چین خوردگی، باعث تشکیل طاقدیس هایی با زاویه بسته و ناویدیس هایی با زاویه باز و در نهایت ایجاد گسل های معکوس در امتداد یال برگشته شده است (شکل ۱۱-الف). نکته ایی که باید به آن توجه کرد این است که این گسل ها در مراحل انتهایی چین خوردگی تشکیل می شوند. وجود چرخش در جهت رشد فیبرها نشانگر چرخش محورهای تنفس در الگوی دگریختی غیر هم محور در طول تکوین یال

1. Shallow

2. Vergence

- Aerden, D.G.A.M., 1996. The pyrite-type strain fringes from Lourdes (France): indicators of Alpine thrust kinematics in the Pyrenees. *Journal of Structural Geology*, 18, 75-91.
- Ferril, D.A., 1991. Calcite twin width and intensities as metamorphic indicators in natural low-temperature deformation of limestone. *Journal of Structural Geology*, 13, 667-675.
- Koehn, D., Hilgers, C., Bons, P.D., and Passchier, C.W., 2000. Numerical simulation of fibre growth in antitaxial strain fringes. *Journal of Structural Geology*, 22, 1311-1324.
- Koehn, D., Aerden, D.G.A.M., Bons, P.D. and Passchier, C.W., 2001. Computer experiments to investigate complex fibre patterns in natural antitaxial strain fringes. *Journal of Metamorphic Geology*, 19, 217-231.
- Kohen, D., Bons, P.D., Hilgers, C., and Passchier, C.W., 2003. Development of antitaxial strain frings during non-coaxial deformation: an experimental study. *Journal of Structural Geology* 25:263-275.
- Marshak, S., and Pluijm, B., 2004. Earth structure an introduction to structural geology and tectonics. University of Illinois and Michigan, 673.
- Mügge, O., 1928. Ueber die Entstehung faseriger Minerale und ihrer Aggregationsformen. *Neues Jahrbuch für Mineralogie, Geologie und Paläontologie*, 58A, 303-348.
- Pabst, A., 1931. Pressure shadows and the measurement of the orientation in rocks. *Journal of the Mineralogical Society of America*, 16, 55-61.
- Passchier, C.W. and Trouw, R.A.J., 2005. *Microtectonics*. Springer Heidelberg, 366.
- Ramsay, J.G. and Huber, M.I., 1983. *The Techniques of Modern Structural Geology 1, Strain Analysis*. Academic Press London, 307.
- Taraz, H., 1968. Geological report and geology map of Anjere-Tiran area, scale:15000, 20.
- Weiss, L.E., 1954. A study of tectonic style: Structural investigation of a marble quartzite complex in southern California. *University California of Publications Geological Sciences*, 30, 1-102.
- Zahedi, M., 1975. Geological Map of Najafabad. Geological Survey and Mineral Exploration of Iran, Scale 1:100,000.